

Влияние термополевой ионизации на формирование барьера Шоттки металл–(аморфный кремний)

© П.Н. Крылов

Удмуртский государственный университет,
426037 Ижевск, Россия

(Получена 27 сентября 1999 г. Принята к печати 6 октября 1999 г.)

Получено выражение для функции распределения носителей заряда по глубоким уровням с учетом эффекта Френкеля–Пула в области объемного заряда, использование которого позволило рассчитать влияние термополевой ионизации на плотность объемного заряда, распределение потенциала в области объемного заряда, квазистатистические вольт-фарадные характеристики контакта металл–(аморфный кремний).

Введение

Свойства барьера Шоттки на аморфном кремнии (α -Si) существенно отличаются от свойств барьера в кристаллах тем, что суммарный пространственный заряд в области барьера определяется как ионизованными примесями, так и локализованными состояниями, связанными с оборванными ковалентными связями. Большая плотность локализованных состояний определяет электрофизические свойства α -Si: слабую чувствительность к легированию, прыжковую проводимость и другие. Электропроводность аморфного кремния, полученного из взвешенного состояния [1] и разложением силана [2], при напряженности электрического поля $E > 10^4$ В/см существенно нелинейна и описывается в рамках теории Френкеля–Пула. Эффект Френкеля–Пула связан с усиливаемым полем термическим возбуждением захваченных электронов или дырок из ловушек — термополевая ионизация (ТПИ). Приложенное электрическое поле E приводит к снижению потенциального барьера, препятствующего освобождению нейтральным локальным центром захваченного носителя, и увеличивает вероятность освобождения из ловушки в одномерном случае на множитель [3]

$$F = \exp(\beta E^{1/2}/kT), \quad (1)$$

а в трехмерном случае — на множитель [4]

$$F = (kT/\beta E^{1/2}) \operatorname{sh}(\beta E^{1/2}/kT), \quad (2)$$

где $\beta = (e^3/4\pi\epsilon\epsilon)^{1/2}$ — постоянная Френкеля–Пула.

В области пространственного заряда (ОПЗ) барьера Шоттки электрическое поле, как правило, сильное, однако в литературе не рассматривается влияние эффекта ТПИ на формирование и свойства контакта металл–(аморфный кремний). Поскольку вероятность освобождения носителя из нейтральной ловушки под действием сильного электрического поля изменяется, кинетику генерации–рекомбинации необходимо рассматривать с учетом полевого воздействия.

Влияние термополевой ионизации глубокого центра на распределение электронов по ловушкам донорного и акцепторного типов

Пусть концентрация ловушек донорного типа равна N_t , а их энергетический уровень — E_t . Тогда темп захвата электронов из зоны проводимости на ловушки (r_n) равен $r_n = \alpha_n N_t (1 - f_t) n$, где α_n — коэффициент захвата неравновесных электронов ловушками.

Темп эмиссии электронов с ловушек донорного типа в зону проводимости, ускоренный действием электрического поля, можно записать в виде $g_n = g_{nt} F$, где $g_{nt} = \beta_n N_t f_t$ — темп тепловой эмиссии. Здесь β_n — коэффициент ионизации электронов с ловушек. Связь между α_n и β_n можно найти с помощью принципа детального равновесия $\beta_n = \alpha_n n_1$, где

$$n_1 = g^{-1} N_c \exp[-(E_c - E_t)/kT]$$

— равновесная концентрация электронов в зоне проводимости, когда уровень Ферми совпадает с уровнем ловушки. Суммарный темп генерации электронов с ловушек донорного типа в зону проводимости равен

$$U_{nd}^c = g_n - r_n = \alpha_n N_d [n_1 f_t F - n(1 - f_t)]. \quad (3)$$

Поступая аналогичным образом, для суммарного темпа генерации дырок в валентную зону с ловушек акцепторного типа можно записать выражение

$$U_{pa}^v = g_p - r_p = \beta_p N_a (1 - f_t) F - \alpha_p N_a f_t. \quad (4)$$

Здесь первое слагаемое определяет количество дырок, генерируемых ловушками акцепторного типа под действием поля, а второе — дырок, захваченных из валентной зоны на ловушки. Величины α_p и β_p представляют собой коэффициенты захвата и ионизации для дырок. Приравнявая r_p и g_p в случае равновесия, получим связь между β_p и α_p в виде $\beta_p = \alpha_p p_1$, где $p_1 = g N_v \exp[-(E_t - E_v)/kT]$ — равновесная концентрация дырок в валентной зоне, когда уровень Ферми совпадает с уровнем ловушки. Тогда выражение (4) можно переписать в виде

$$U_{pa}^v = \alpha_p N_a [p_1 (1 - f_t) F - p f_t]. \quad (5)$$

Рассмотрим теперь баланс между переходами (донорный уровень)–(валентная зона), (акцепторный уровень)–(зона проводимости). В этих случаях темп рекомбинации увеличивается в F раз, поскольку, например, рекомбинация электрона из зоны проводимости на акцепторный уровень эквивалентна генерации дырки с уровня с энергией E_a в зону проводимости, и по аналогии с (3) и (5) имеем

$$U_{pd}^v = \alpha_p N_d [p_1(1 - f_i) - p f_i F], \quad (6)$$

$$U_{na}^c = \alpha_n N_a [n_1 f_i - n(1 - f_i) F]. \quad (7)$$

Суммарные темпы генерации электронов с ловушек обоих типов в зону проводимости и дырок в валентную зону соответственно равны

$$U_n = U_{nd}^c + U_{na}^c, \quad U_p = U_{pa}^v + U_{pd}^v.$$

Остановимся теперь подробнее на стационарных, но неравновесных состояниях. Рассмотрим условие, когда ток через систему не протекает. Тогда

$$U_{nd}^c = U_{pd}^v = U_{na}^c = U_{pa}^v = U_n = U_p = 0, \quad j_n = j_p = 0$$

и можно найти функцию распределения электронов по ловушкам донорного типа:

$$f_d^n = [1 + g_{dn}^{-1} F \exp(E_d - \xi_0/kT)]^{-1} \quad (8)$$

и по ловушкам акцепторного типа:

$$f_a^n = [1 + g_{an}^{-1} F^{-1} \exp(E_d - \xi_0/kT)]^{-1}, \quad (9)$$

где $E_d = E_d^0 - e\varphi$, $E_a = E_a^0 - e\varphi$, ξ_0 — химический потенциал.

Рассмотрим баланс между процессами переходов донор–акцептор ($d \leftrightarrow a$). Темп переходов $d \rightarrow a$ равен

$$g_{d \rightarrow a} = \alpha N_d f_d N_a (1 - f_a) F^2,$$

поскольку этот процесс можно представить следующим образом: электрон покидает донор, дырка — акцептор и в обоих случаях имеет место полевая ионизация. Затем электрон и дырка рекомбинируют. Темп обратных переходов $a \rightarrow d$ равен

$$g_{a \rightarrow d} = \beta N_a f_a N_d (1 - f_d).$$

Из условия теплового равновесия $g_{d \rightarrow a}^0 = g_{a \rightarrow d}^0$ находим связь между коэффициентом захвата β и коэффициентом ионизации α :

$$\beta = \alpha (g_{dn}/g_{an}) \exp[(E_a - E_d)/kT],$$

подставляя которое в уравнение баланса $g_{d \rightarrow a} = g_{a \rightarrow d}$, получим уравнение

$$\frac{f_d}{1 - f_d} F^2 = \frac{g_{dn}}{g_{an}} \frac{f_a}{1 - f_a} \exp\left(\frac{E_a - E_d}{kT}\right).$$

Подставляя сюда (8) и (9), получим тождество. Таким образом, функции распределения носителей заряда по

локальным состояниям (8) и (9) обеспечивают баланс между любыми из процессов:

$$d \leftrightarrow E_c, \quad d \leftrightarrow E_v, \quad a \leftrightarrow E_c, \quad d \leftrightarrow E_v, \quad d \leftrightarrow a.$$

Как видно из (8) и (9), влияние электрического поля сводится к увеличению числа заряженных (ионизованных) ловушек в полупроводнике независимо от их типа.

Плотность объемного заряда в аморфном кремнии при термополевой ионизации

В случае аморфных полупроводников плотность состояний внутри щели подвижности может быть представлена в виде суперпозиции донорноподобных и акцепторноподобных состояний. В качестве модельных парциальных плотностей состояний примем значения

$$g(E) = g_d(E) + g_a(E),$$

$$g_d(E) = g_d(E_v) \exp[(E_v - E)/E_{0d}],$$

$$g_a(E) = g_a(E_c) \exp[(E - E_c)/E_{0a}]. \quad (10)$$

Здесь и далее E — энергия носителей заряда. Плотность объемного заряда ρ можно записать в виде

$$\rho = e(N_d^+ - N_a^-), \quad (11)$$

где

$$N_d^+ = \int_{E_v}^{\infty} g_d(E) [1 - f_d^n(E)] dE \quad (12)$$

— концентрация ионизованных донорноподобных центров;

$$N_a^- = \int_{-\infty}^{E_c} g_a(E) f_a^n(E) dE \quad (13)$$

— концентрация акцепторноподобных центров.

Подставляя (8)–(10) в (12) и (13), выразим концентрации заряженных ловушек через гипергеометрические функции:

$$N_d^+ = g_d(E_v) kT \frac{F(1, \alpha, \alpha + 1, A)}{\alpha}, \quad (14)$$

$$N_a^- = g_a(E_c) kT \frac{F(1, \beta, \beta + 1, B)}{\beta}, \quad (15)$$

где

$$A = \exp[(E_{fd}^* - E_v)/kT],$$

$$B = \exp[(E_c - E_{fa}^*)/kT],$$

$$E_{fd}^* = \xi_0 + e\varphi + kT \ln(g_{dn} F),$$

$$E_{fa}^* = \xi_0 + e\varphi - kT \ln(g_{an}^{-1} F),$$

$$\alpha = kT/E_{0d}, \quad \beta = kT/E_{0a}.$$

Здесь E_{fa}^* и E_{fd}^* — квазиуровни Ферми для электронов, локализованных на акцепторноподобных и донорноподобных уровнях соответственно. Подставляя (14) и (15) в (11) и учитывая условие электронейтральности в объеме, получим

$$\frac{F(1, \alpha, \alpha + 1, -A^*)}{\alpha} = \frac{F(1, \beta, \beta + 1, -B^*)}{\beta} = C, \quad (16)$$

где

$$A^* = \exp[(\xi_0 - E_v)/kT], \quad B^* = \exp[(E_c - \xi_0)/kT],$$

плотность объемного заряда можно записать в виде

$$\rho = eg_d(E_v)kTC \left[\frac{F(1, \alpha, \alpha + 1, -A)}{F(1, \alpha, \alpha + 1, -A^*)} - \frac{F(1, \beta, \beta + 1, -B)}{F(1, \beta, \beta + 1, -B^*)} \right]. \quad (17)$$

Характер распределения объемного заряда определяет ход потенциала φ в ОПЗ в соответствии с уравнением Пуассона:

$$\frac{d^2\varphi}{dx^2} = -\frac{\rho}{\varepsilon\varepsilon_0}. \quad (18)$$

В безразмерных переменных

$$e\varphi/kT = \psi, \quad x/L = y, \quad L^2 = 2\varepsilon\varepsilon_0/e^2g_d(E_v),$$

$$\alpha = (e/\pi\varepsilon\varepsilon_0LkT)^{1/2}$$

уравнение Пуассона можно переписать в виде

$$\frac{d^2\psi}{dy^2} = \frac{1}{C} \left[\frac{F(1, \beta, \beta + 1, -B)}{\beta} - \frac{F(1, \alpha, \alpha + 1, -A)}{\alpha} \right] \quad (19)$$

с граничными условиями

$$\begin{aligned} y \rightarrow \infty, \quad \psi, d\psi/dy &\rightarrow 0; \\ y \rightarrow 0, \quad \psi &\rightarrow \psi_k + eV/kT, \end{aligned} \quad (20)$$

где ψ_k — контактная разность потенциалов, V — внешнее смещение. Однако первое граничное условие не может быть использовано при численном анализе. Перейдя к новой переменной $z = (d\psi/dy)^2$, уравнение (19) можно переписать в виде

$$\frac{dz}{d\psi} = \frac{2}{C} \left[\frac{F(1, \beta, \beta + 1, -B)}{\beta} - \frac{F(1, \alpha, \alpha + 1, -A)}{\alpha} \right], \quad (21)$$

где

$$A = \exp(\Delta + \eta_0 + \psi - az^{1/4}), \quad B = \exp(\eta_0 - \psi - az^{1/4}),$$

$$\Delta = E_g/kT, \quad \eta_0 = (\xi_0 - E_c)/kT$$

с граничными условиями

$$\psi \rightarrow 0, \quad z \rightarrow 0;$$

$$\psi \rightarrow \psi_k + eV/kT, \quad z \rightarrow z_k. \quad (22)$$

Известно [5], что гипергеометрический ряд Гаусса $F(a, b, c, z)$ сходится при $|z| < 1$. Используя соотношение Гаусса для смежных функций, получим формулу для расчета $F(1, \alpha, \alpha + 1, -A)$ при $|A| < 1$

$$\begin{aligned} F(1, \alpha, \alpha + 1, -A) &= \frac{1}{1+A} + \frac{A}{1+A} \left(\frac{\alpha + 1}{\alpha} \right) \\ &\times \sum_{n=0}^{\infty} \frac{(-A)^n}{(\alpha + n)(\alpha + n + 1)}. \end{aligned} \quad (23)$$

При $|A| > 1$ используем соотношение

$$\begin{aligned} F(1, \alpha, \alpha + 1, -A) &= \frac{\pi\alpha}{\sin \pi\alpha} \frac{1}{A^\alpha} + \left(\frac{\alpha}{\alpha + 1} \right) \\ &\times \frac{1}{A} F(1, 1 - \alpha, 2 - \alpha, -A^{-1}), \end{aligned} \quad (24)$$

где расчет функции $F(1, 1 - \alpha, 2 - \alpha, -A^{-1})$ можно проводить по формуле (23).

Уравнение Пуассона (21) с условиями (22)–(24) решалось численно методом трапеций. Была получена зависимость $\psi'(\psi)$, которая также интегрировалась методом трапеций, в результате чего получена зависимость потенциала от координаты. Параллельно с решением уравнения Пуассона можно вычислить дифференциальную емкость как функцию приложенного напряжения. Действительно, зависимость емкости от напряжения определяется выражением $C(V) = \psi''/\psi'$, которое с учетом полученной зависимости $\psi'(\psi)$ приобретает явный вид, пригодный для численного анализа

$$C = \psi''[\psi, \psi'(\psi)]/\psi'(\psi). \quad (25)$$

Результаты численного расчета и их обсуждение

На рис. 1 изображена типичная зависимость от напряжения уровня Ферми ξ относительно порогов подвижности, а также квазиуровни Ферми для электронов, локализованных на донорноподобных (E_{fd}^*) и акцепторноподобных (E_{fa}^*) уровнях. Отличие E_{fd}^* и E_{fa}^* от ξ обусловлено влиянием эффекта Френкеля–Пула, приводящего к понижению значения E_{fd}^* и повышению

E_{fa}^* , что является следствием ионизирующего действия электрического поля. Продолжением этого следствия является более резкий спад потенциала в ОПЗ (рис. 2), приводящий к уменьшению толщины ОПЗ. На рис. 3 приведена зависимость емкости барьера C от прило-

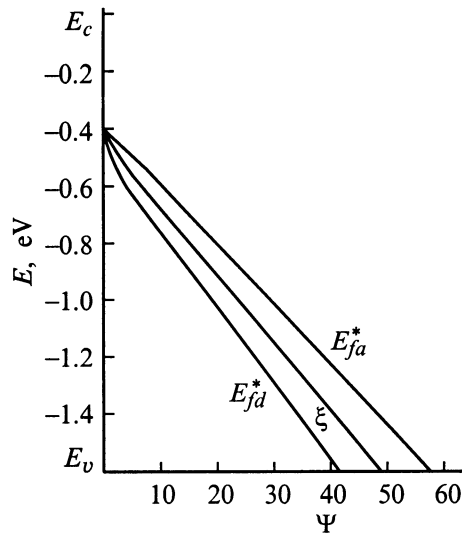


Рис. 1. Зависимости уровня Ферми ξ и квазиуровней Ферми E_{fd}^* , E_{fa}^* от приведенного потенциала электрического поля внутри барьера $\Psi = e\varphi/kT$.

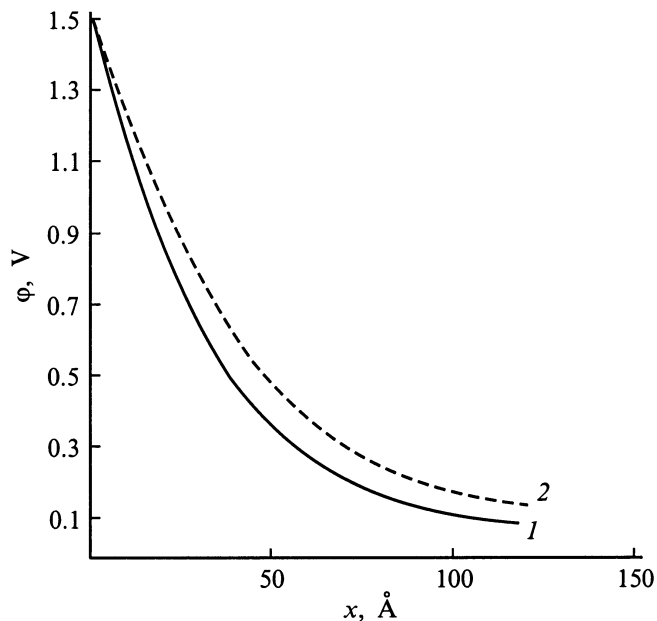


Рис. 2. Ход потенциала в области объемного заряда барьера Шоттки металл–(аморфный кремний): 1 — с учетом, 2 — без учета эффекта термополевой ионизации.

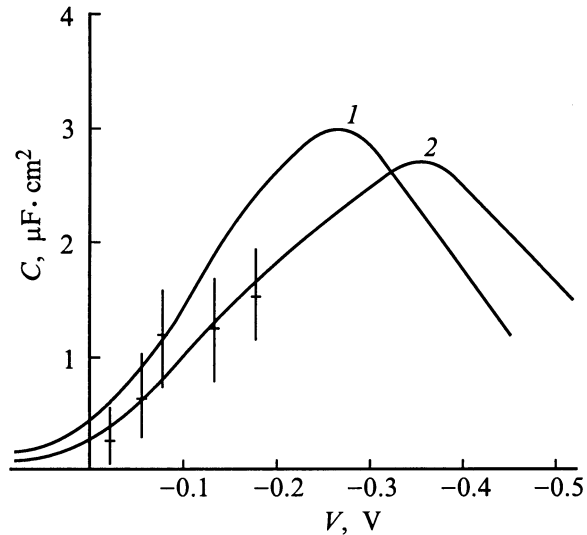


Рис. 3. Зависимости емкости (C) от обратного смещения (V) для барьера Шоттки металл–(аморфный кремний). Зависимости рассчитаны при $E_c - \xi = 0.65$ эВ: 1 — с учетом, 2 — без учета термополевой ионизации.

женной разности потенциалов. Как видно из рис. 3, поведение емкости существенно отличается от того, что предсказывает классическая теория барьера Шоттки

$$C^{-2} \propto V_k - V. \quad (26)$$

Зависимость такого типа начинается лишь при достаточно больших отрицательных смещениях, например, для случая $\eta_0 = -32$ при $\psi > 35$ без учета ТПИ, а при $\psi > 45$ — с учетом ТПИ. Такое поведение можно качественно объяснить, рассматривая положение квазиуровней Ферми относительно порогов подвижности. Зависимость типа (26) начинает проявляться лишь при тех значениях напряжения смещения V , при которых зарядовое состояние локальных уровней не изменяется. Это означает, что мы получаем модель барьера Шоттки, в которой плотность объемного заряда является постоянной. На начальном участке роста емкости C от напряжения V эффект ТПИ дает более пологую кривую. Чтобы сравнить с имеющимися в литературе экспериментальными данными зависимости емкости от обратного смещения для барьера на границе раздела нелегированного гидрогенизированного аморфного кремния с золотом [6], на рис. 3 представлены расчетные кривые при $E_c - \xi = 0.65$ эВ, $g(\xi_0) = 10^{17}$ эВ $^{-1}$ ·см $^{-3}$ с учетом и без учета ТПИ. Как видно из рис. 3, учет термополевой ионизации в области объемного заряда приводит к более точному совпадению экспериментальной и расчетной кривых.

Список литературы

- [1] А.А. Андреев, О.А. Голикова, М.М. Казанин, М.М. Мездрогина. ФТП, **13**(9), 1859 (1979).
- [2] А.К. Джоншер, Р.М. Хилл. Физика тонких пленок, **8**, 180 (1978).
- [3] J.L. Hartke. J. Appl. Phys., **39**, 4871 (1968).
- [4] M. Ieda, G. Sawa, S. Kato. J. Appl. Phys., **42**, 3737 (1971).
- [5] *Справочник по специальным функциям*, под ред. М. Абрамовица, И. Сигал (М., Наука, 1979).
- [6] *Аморфные полупроводники*, под ред. М. Бродски (М., Мир, 1982).

Редактор Т.А. Полянская

The influence of thermal-field ionization on the formation of Schottky barrier: metal–amorphous silicon

P.N. Krylov

Udmurt State University,
426037 Izhevsk, Russia